

تحضير دراسة طيفية وحيوية لبعض مشتقات الفثال ايمайд والمالي ايمайд الجديدة
المحتوية على حلقات البنزوثيازول

تاريخ القبول 2016/7/4

تاريخ الاستلام 2016/5/15

اطياف قصي كاظم*

مهند عبد اللطيف محمود *

احمد يونس عبد*

*قسم الكيمياء، كلية العلوم للبنات، جامعة بغداد

الخلاصة:

تم في هذا البحث تحضير سلسلة جديدة من مركبات 3- نايترو فثال ايمайд و برومومالي ايمайд الحاوية في تركيبها على حلقات البنزوثيازول، حيث حضرت مركبات N-(معوض بنزوثيازول-2-يل)3نايترو فثال ايمайд من خلال ثلاثة مراحل تم في الاولى تحضير مركبات معاوض 2- امينو بنزوثيازول وذلك من تفاعل امينات اروماتية اولية معوضة بمجاميع مختلفة مع ثيوسيانات الامونيوم والبروم في حامض الخليك الثالجي وتم في الخطوة الثانية مفعالة مركبات 2- امينو بنزوثيازول المعوضة الناتجة مع 3نايترو فثالك انهريد والذي يؤدي لتكوين سلسلة من حامض N-(معوض بنزوثيازول-2-يل)3نايترو فثال آميک اما الخطوة الثالثة تضمنت سحب الماء من المجموع المحضر باستخدام انهريد الخليك وخلات الصوديوم اللامائي كعامل ساحب للماء لانتاج مركبات N-(معوض بنزوثيازول-2-يل)3نايترو فثال ايمайд، بينما استخدمت طريقة الصهر لتحضير مركبات N-(معوض بنزوثيازول-2-يل) وذلك بصهر مركبات معاوض 2- امينو بنزوثيازول المحضرة مع بروموماليك انهريد لتنتج الاميدات المطلوبة وهي N - (معوض بنزوثيازول-2-يل) برومومالي ايمайд، اثبتت صحة التركيب المحضره باستعمال طرق التشخيص الفيزيائية والطيفية و تمت دراسة الفعالية الحيوية للمركبات ضد اربعه انواع من البكتيريا ونوع من الفطريات وقد اظهرت النتائج بل اغلب المركبات المحضره ذات فعالية جيدة ضد انواع البكتيريا والفطريات قيد الدراسة.

الكلمات المفتاحية: الفثال ايمайд ، المالي ايمайд ، البنزوثيازول

Chemical Classification QD 241-441

تحضير مركبات موضع-2-أmineo بنزوثيرايزول [14] Preparation of Substituted-2-aminobenzothiazoles

في دورق دائري القعر مناسب (Round bottomed flask) (0.03mol) من الأمين الاروماتي (Substituted aromatic) الأولي المعرض بمجاميع مختلفة (primary amine) (0.03 mol) من ثيوسيانات الأمونيوم (Ammonium thiocyanate) في (150 ml) من حامض الخليك الثلجي (Glacial acetic acid) (dropping funnel) حاوٍ على (0.03mol) ml (0.03mol) من البروم المذاب بـ (75 ml) من حامض الخليك الثلجي، حيث أضيف محلول البروم على شكل قطرات إلى محلويات الدورق لمدة نصف ساعه مع التبريد والتحريك المستمر، بعد اكمال الاضافة حرك المزيج لمدة ساعه، وبعدها أضيف محلول هيدروكسيد الصوديوم لجعله قادعياً حيث ترسب مشتق 2-أmineo بنزوثيرايزول ثم رشح واعيدت بلورته باستخدام الإيثانول. ابرز الخصائص الفيزيانية لمركبات موضع-2-أmineo بنزوثيرايزول موضحة بالجدول رقم (1).

تحضير حواضن-N-(موضع بنزوثيرايزول-2-يل)-3-نيتروفنال آميک [15].

Preparation of N-(Substituted benzothiazol-2-yl)3-phthalamic acid

في دورق مناسب اذيب (1.93g) (0.01 mol) من 3-نيتروفنال انهدري (phthalic anhydride) (3ml) في (35ml) من الاسبيتون وزود الدورق بقمع تقطير (dropping funnel) حاوٍ على (0.01mol) من مشتق 2-أmineo بنزوثيرايزول المذاب في (30ml) من الاسبيتون، أضيف محلول التقطير إلى محلول 3-نيتروفنال انهدري بشكل قطرات ولمدة نصف ساعه مع التحرير المستمر والتبريد ضمن مدى حراري °C (0-5) بعد اكمال الاضافة يستمر تحريك المزيج لمدة تتراوح ما بين (1-2) hrs حيث يتربس حامض الآميک، رشح الراسب المتكون واعيدت بلورته باستخدام الإيثانول، جدول رقم (2) يوضح ابرز الخصائص الفيزيانية لحامض الآميک المحضر. تحضير N-(موضع بنزوثيرايزول-2-يل)-3-نيتروفنال آميک [16].

Preparation of N-(Substituted benzothiazol-2-yl)3-nitro phthalimide

في دورق دائري القعر اذيب (0.2g) من خلات الصوديوم الاماني في (25ml) من حامض الخليك اللاماني (acetic anhydride) وأضيف بعدها (2g) من حامض N-(موضع بنزوثيرايزول-2-يل)-3-نيتروفنال آميک وصعد المزيج على حمام مائي لمدة ساعتين مع التحرير. برد المزيج بعد اكمال التصعيد وسكب على (100 ml) من الماء المقطر البارد مع التحرير لحين ترسيب الايميد رشح الراسب وغسل عدة مرات بالماء البارد وبعد جفاف الراسب اعيدت بلورته باستخدام الإيثانول. الجدول رقم (3) يوضح ابرز الخصائص الفيزيانية للإيميدات المحضره. تحضير N-(موضع بنزوثيرايزول-2-يل) بروموماليك آميک [17].

N-(substituted benzothiazol-2-yl) bromo maleimide

في دورق دائري القعر مجهز بمحرار وضع (0.01mol) من مشتق 2-أmineo بنزوثيرايزول (0.01mol) من بروموماليك انهدري (Bromo Maleic anhydride)

المقدمة:

بعد البنزوثيرايزول واحد من المركبات الحلقية الغير متجانسة ذات التطبيقات المتعددة [1] والتي عرفت منذ زمن بعيد بفعاليتها الحيوية، يمرر الوقت وتطور البحث زاد اهتمام الباحثين بمشتقات البنزوثيرايزول المختلفة حيث كان لهذه المشتقات مكانة مهمة في العديد من التطبيقات الحيوية [2].

فقد دخلت حلقات البنزوثيرايزول المعرفة في تركيب الأدوية المستخدمة في علاج الكثير من الأمراض، حيث اظهرت بعض مشتقات البنزوثيرايزول خاصية مضادة للأورام (Anti-tumor) [4-3] ، و اظهر بعضها الآخر فعالية مضادة للجراثيم (Antimicrobial) [5] و مضادة للتشنجات (Anti convulsants) [6]

وكمضادات لمرض السكري (Anti-diabetic activity) [7] و لمرض الربو (Anti asthmatic) وفعاليه مشتبه لتكسر الصفائح الدموية (Platelet Aggregation Inhibitors) [8]. كما اظهرت بعض مشتقات البنزوثيرايزول تأثير مسكن للألم (Analgesic) [9] وتأثيرات علاجية لأمراض المناعة الذاتية مثل الحساسيه، وأمراض القلب وتصلب الشريان والتهاب المفاصل [10].

من جهة اخرى تعتبر الأيميدات الحلقية من المركبات المهمة ذات التطبيقات الكثيرة في مجالات الصناعة والطب، حيث تعتبر الكثير من المالي ايميدات مواد اولية لكثير من التطبيقات الصيدلانية والحيوية فقد استخدمت كمترنات مناعية لعلاج امراض السرطان وفي انتاج الاجسام المضادة [11] وكمضادات للبكتيريا والفطريات كما استعملت بعض الايميدات مثل N-اريل فثال ايميد كمواد منظمة لنمو بعض النباتات مثل الحنطة [12] واستعمل بعضها الاخر كبيادات للحشرات [13] و نظراً للاهمية الحيوية والتطبيقات العلاجية المختلفة لكل من الايميدات الحلقية ومركبات البنزوثيرايزول تم في هذا البحث تحضير ايميدات حلقية جديدة (المالي ايميد، فثال ايميد) حاوية في تركيبها على البنزوثيرايزول.

المواد وطرق العمل :

جهزت المواد الكيميائية المستعملة من شركة BDH Fluka وقيست درجات الانصهار للمركبات Stuart Scientific Co. LTD melting point SMP1 واستعمل جهاز كرومتوغرافيا الطبقية الرقيقة (TLC) لمتابعة سير الفاعل للمركبات المحضرة ولحساب قيم Rf التي تمثل احد الصفات الفيزيانية كما تم استخدام جهاز التحليل الدقيق للعناصر C.H.N.S (EuroEA 3000) لايجاد النسب المئوية الدقيقة لعناصر المركبات المحضرة اما الاجهزة المستعملة في القياسات الطيفية فهي :

- 1 - مطياف الاشعة تحت الحمراء FT-IR Shimadzu FT-IR 8000 series Fourier transform infrared spectrophotometer .

- 2 - مطياف الاشعة فوق البنفسجية UV-Vis Shimadzu (UV-Vis)-160 recording spectrophotometer .

- 3 - مطياف الرنين النووي المغناطيسي ¹H-NMR Varian Mercury 300 MHz instrument using tetramethylsilane(TMS) as the internal standard and DMSO-d₆ as solvents.

الدراسة الحيوية (Biological study):
 تم قياس الفعالية المضادة للبكتيريا والفطريات لجميع المركبات المحضرة إذ استخدمت أربعة أنواع من البكتيريا *Escherichia coli*, *Staphylococcus aureus*, *Streptococcus Pseudomonas auroginosa*, *Candida pyogenes* ونوع واحد من الفطريات *Candida albicans* وتم اختيار هذه الأنواع بسبب أهميتها في الحلبي إذ أنها تسبب العديد من الأمراض والطريقة المستخدمة في حساب التأثير الشبكي هي Agar diffusion method [21] وتتضمن مaily:

حضرت محليل المركبات بتراكيز (10^{-3} mol) المذابة في DMSO واستعملت أوراق الترشيح بقطر (5 ml) شبعـت بمحلولـ الموادـ المرادـ اختبارـهاـ ونقلـتـ إلىـ اطبـاقـ مـزروـعـهـ بالـبـكتـيرـياـ وـالفـطـريـاتـ ثـمـ حـضـنـتـ الـاطـبـاقـ فيـ الحـاضـنةـ بـ درـجـةـ حرـارـةـ (37°C) لـمـدةـ 48ـ ساعـةـ ثـمـ قـبـسـتـ منـطـقـةـ التـشـبـكـ Inhibition Zone بـ (mm) وـالـنـتـائـجـ موـضـحـةـ بـالـجـوـلـ رقمـ (10).

ووضع الدورق في حمام رملي وصهر المزيج لمدة (35-30) دقيقة بدرجة حرارة أعلى من درجة انصهار المركبين، ثم برد ناتج الصهر وتم تنقيته باعادة بلوتراته باستخدام الـ DMF، والجدول رقم (4) يوضح ابرز الخصائص الفيزيائية لهذه الاميليدات.

طريقة حساب Rf:

تم وضع حجم معين من العينة بواسطـهـ مـحقـنـ عـلـىـ خطـ نقطـةـ الـبداـيـهـ الذـيـ بـيـعـدـ 2ـ سـمـ مـنـ بـداـيـهـ لـوحـ كـرـمـونـوكـراـفيـاـ الطـبـيقـةـ الرـفـيقـةـ ،ـ ثـمـ وـضـعـ اللـوحـ فـيـ وـاءـ مـغـطـىـ بـحـويـ علىـ المـذـيبـ (ـالـكـلـورـفـورـمـ)ـ تـرـكـ لـوقـتـ قـصـيرـ حيثـ بـدـأـ المـذـيبـ بـالـتـحـرـكـ إـلـىـ الـأـعـلـىـ مـارـ بـالـمـادـةـ وـعـنـدـ اـقـرـابـ بـجـيـهـ المـذـيبـ مـنـ نـهـاـيـةـ اللـوحـ أـخـرـجـ اللـوحـ مـنـ الـوـاءـ وـحدـدـ المـكـانـ الذـيـ وـصـلـ إـلـيـ المـذـيبـ وـبـاستـخدـامـ الـبـيـودـ كـكاـنـافـ لـلتـظـهـيرـ حدـدـتـ المسـافـهـ الذـيـ قـطـعـتـهاـ المـادـةـ،ـ وـتـمـ حـاسـبـ Rfـ الذـيـ يـمـثـلـ اـحـدـ الصـفـاتـ الفـيـزـيـاوـيـةـ عـنـ تـثـبـيتـ جـمـيعـ الـطـرـوفـ ،ـ وـتـمـ اـيـجادـهـ مـنـ خـالـلـ الـقـالـونـ

معامل الاعاقـةـ = المسـافـهـ الذـيـ قـطـعـتـهاـ المـادـةـ / المسـافـهـ الذـيـ قـطـعـهـ المـذـيبـ

جدول (1) يوضح بعض الخواص الفيزيائية للمركبات (1-6)

رقم المركب	التركيب	الصيغة الجزيئية	الوزن الجزيئي	نسبة المنتوج %	اللون	درجة الانصهار °C	مذيب البلورة	Rf
1		C ₇ H ₆ N ₂ S	150.388	83	ابيض	127-129	ايثanol	0.88
2		C ₇ H ₅ N ₂ SBr	229.1	74	بيجي	200 dec.	ايثanol	0.78
3		C ₇ H ₅ N ₃ O ₂ SCl	229.65	79	اصفر	114-115	ايثanol	0.75
4		C ₁₀ H ₁₂ N ₂ O ₃ S	240.286	65	بني	220 dec.	ايثanol	0.67
5		C ₇ H ₅ N ₂ SCl	184.59	90	بيجي	223-225	ايثanol	0.85
6		C ₇ H ₅ N ₃ O ₂ S	195.21	87	برتقالي	148-150	ايثanol	0.82

جدول (2) يوضح بعض الخواص الفيزيائية للمركبات (7-12)

رقم المركب	التركيب	الصيغة الجزيئية	الوزن الجزيئي	نسبة المنتوج %	اللون	درجة الانصهار °C	مذيب البلورة	Rf
7		C ₁₅ H ₉ N ₃ O ₅ S	343.32	88	ابيض	161-163	ايثanol	0.80
8		C ₁₅ H ₇ N ₄ O ₇ SCl	422.76	85	اصفر فاتح	203-205	ايثanol	0.84
9		C ₁₅ H ₈ N ₃ O ₅ SBr	422.21	73	بني فاتح	268-270	ايثanol	0.86
10		C ₁₈ H ₁₅ N ₃ O ₈ S	433.4	71	بني	229-230	ايثanol	0.75
11		C ₁₅ H ₈ N ₃ O ₅ SCl	377.76	82	ابيض	248-250	ايثanol	0.77
12		C ₁₅ H ₈ N ₄ O ₇ S	388.32	80	اصفر فاتح	273-275	ايثanol	0.85

جدول (3) يوضح بعض الخواص الفيزيائية للمركبات (13-18)

رقم المركب	التركيب	الصيغة الجزيئية	الوزن الجزيئي	نسبة المنتوج %	اللون	درجة الانصهار °C	مذيب البلورة	Rf
13		C ₁₅ H ₇ N ₃ O ₄ S	325.306	78	اصفر فاتح	215-216	ايثanol	0.67
14		C ₁₅ H ₆ N ₄ O ₆ S	370.308	80	اصفر غامق	242-243	ايثanol	0.77
15		C ₁₅ H ₆ N ₃ O ₄ SBr	404.198	77	بيجي	246-247	ايثanol	0.85
16		C ₁₅ H ₆ N ₃ O ₄ SCl	359.748	74	ابيض	216-217	ايثanol	0.63
17		C ₁₈ H ₁₃ N ₃ O ₇ S	415.384	64	بني	208-210	ايثanol	0.74
18		C ₁₅ H ₅ N ₄ O ₆ S	404.75	82	اصفر	183-184	ايثanol	0.79

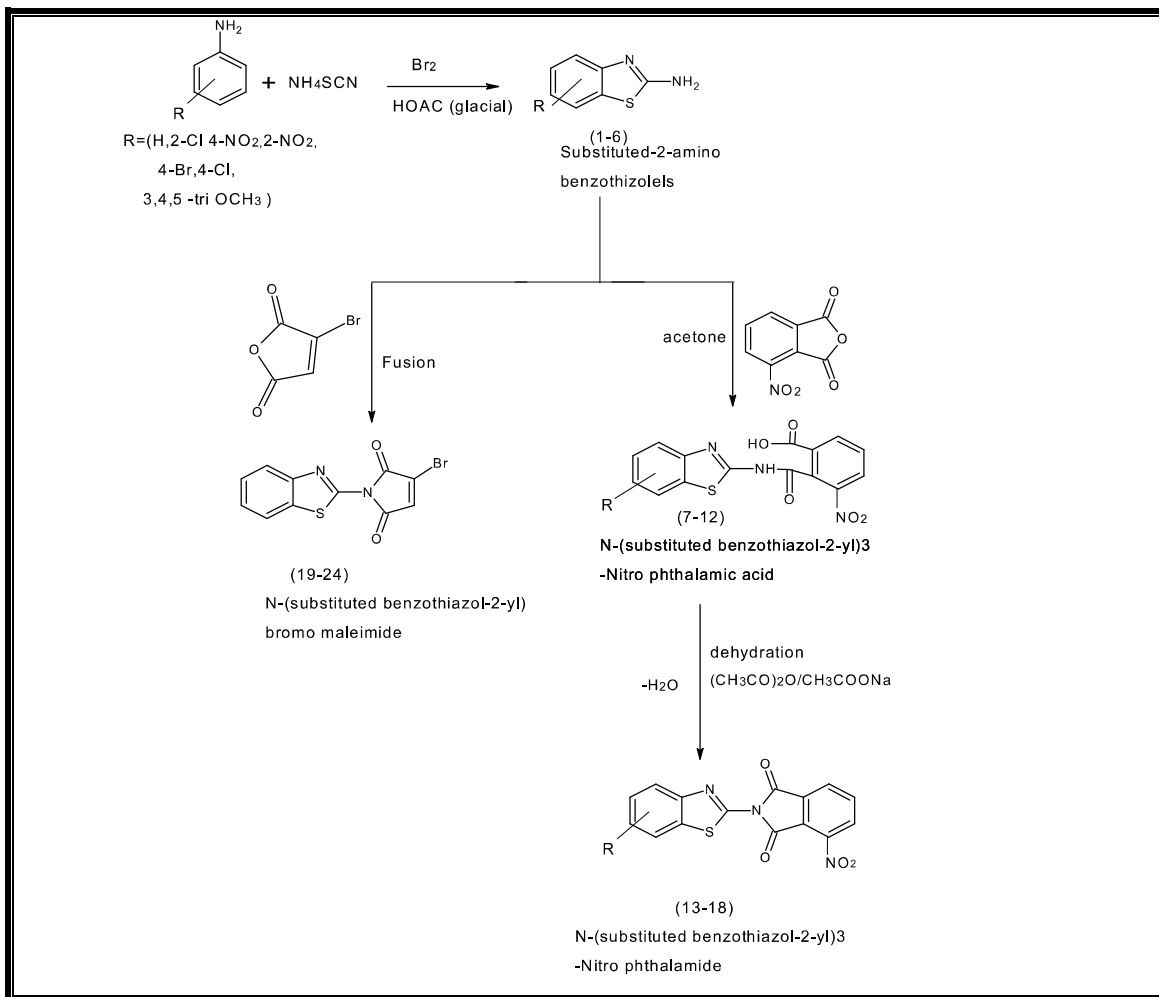
جدول (4) يوضح بعض الخواص الفيزيائية للمركبات (19-24)

رقم المركب	التركيب	الصيغة الجزيئية	الوزن الجزيئي	نسبة المنتوج %	اللون	درجة الانصهار °C	مذيب البلورة	Rf
19		C ₁₁ H ₅ N ₂ O ₂ SBr	309.14	90	بني فاتح	165-166	DMF	0.84
20		C ₁₁ H ₄ N ₂ O ₂ SBrCl	343.585	77	بني غامق	149-150	DMF	0.71
21		C ₁₁ H ₄ N ₂ O ₂ SBr ₂	388.032	84	بني محمر	155-156	DMF	0.73
22		C ₁₁ H ₃ N ₃ O ₄ SClBr	388.584	89	اخضر غامق	145-148	DMF	0.79
23		C ₁₄ H ₁₁ N ₂ O ₅ SBr	399.218	75	بني	140-142	DMF	0.84
24		C ₁₁ H ₄ N ₃ O ₄ SBr	354.142	83	برتقالي	153-154	DMF	0.86

الحراء حزم امتصاص عند مدى تردد cm^{-1} 1693-1789 تعود الى مط اصراة (C=O) الاميدية وحزم امتصاص عند مدى ترددات (1504-1597) cm^{-1} , (1608-1681) cm^{-1} , (644-698) cm^{-1} , (1311-1419) cm^{-1} , (1377-1442) cm^{-1} , (3032-3093) cm^{-1} , (C=N), (C=C), (C-S), (C-NO₂), (C-H) المتضائرة وغير المتضائرة ومط اصراة (C-H) الاروماتية على التوالى ومن امعان النظر في الاطيف السابقة يلاحظ اختفاء حزم مط اصراة O-H (الكاربوكسيلية و (N-H) الاميدية وهذا موشر على نجاح عملية سحب جزيئه الماء اما اطيف الاشعة فوق بنسجية فاعطى حزم لا عظم امتصاص عند مدى الاطوال الموجية nm (268-278) تعود الى انتقالات ($\pi \rightarrow \pi^*$) و($n \rightarrow \pi^*$) والجدول رقم (7) يوضح حزم الامتصاص لطيف الاشعة تحت الحمراء والاشعة فوق بنسجية ، واوضح طيف الرنين النووي المغناطيسي ¹H-NMR للمركبات (13-18) المذابة في d₆-DMSO اختفاء اشاره كل من بروتون (N-H) الاميدية وبروتون (O-H) الكاربوكسيلية وظهور اشاره متعددة عند ppm (6.8-8.5) تعود الى بروتونات الحلقة الاروماتية . وشخصت المركبات (19-24) من خلال بعض القياسات الفيزيولوجية والنتائج الطيفية ، حيث اظهرت اطيف الاشعة تحت الحمراء صحة المركبات اذ لم تظهر الاطيف حزماً تعود لحزم امتصاص (NH₂) v بينما اظهرت حزمة امتصاص عند مدى تردد (1705-1778) تعود لمط اصراة (C=O) الاميدية وحزم امتصاص عند مدى ترددات-1604 cm⁻¹ (624-686) cm⁻¹ 1656) cm⁻¹ (1458-1562) cm⁻¹ و(3020-3097) cm⁻¹ (501-586) cm⁻¹ ، (C=N), (C=C) ، (C-H) ، (C-S) الاروماتية ومط اصراة (C-Br) على التوالى.اما اطيف الاشعة فوق بنسجية فاعطى حزم لا عظم امتصاص عند مدى الاطوال الموجية nm (269-299) , (327-343) nm (266-297) cm⁻¹ ($\pi \rightarrow \pi^*$) و($n \rightarrow \pi^*$) والجدول رقم (8) يوضح حزم الامتصاص لطيف الاشعة تحت الحمراء والاشعة فوق بنسجية ، واوضح طيف الرنين النووي المغناطيسي ¹H-NMR للمركبات (19-24) اشاره مفردة عند 6.1 ppm تعود الى بروتون 6.2 ppm الالكين وشاره متعددة عند (6.9-8.2) تعود الى بروتونات الحلقة الاروماتية .

النتائج والمناقشة:

تم في هذا البحث اتباع المسارات المبينة في المخطط رقم (1) حيث تم تشخيص المركبات (1-6) من خلال قياس بعض الخواص الفيزيولوجية والنتائج الطيفية، حيث اظهر طيف الاشعة تحت الحمراء حزم امتصاص عند مدى ترددات cm^{-1} (3150-3479) (cm^{-1} 702-628) (cm^{-1} 1608-1643) (cm^{-1} 1608-1643) تعود الى حزم امتصاص (NH₂) v ومط اصراة (C-S) على التوالى.اما طيف امتصاص الاشعة فوق بنسجية فقد اعطى حزم لا عظم امتصاص عند مدى الاطوال الموجية (268-376)nm تعود الى انتقالات ($n \rightarrow \pi^*$) و($\pi \rightarrow \pi^*$) والجدول رقم (5) يوضح حزم الامتصاص لطيف الاشعة تحت الحمراء والاشعة فوق بنسجية ، كما اظهر طيف الرنين النووي المغناطيسي ¹H-NMR للمركبات-1 (3.3-3.6) ppm اشاره مفردة عند NH₂ المتناظر و اشاره متعددة عند ppm (6.8-8.2) تعود الى بروتونات الحلقة الاروماتية . وتم تشخيص المركبات (7-12) من خلال قياس بعض الخواص الفيزيولوجية والنتائج الطيفية، حيث اعطي طيف الاشعة تحت الحمراء حزم امتصاص عند مدى تردد cm^{-1} (3300-3178) تعود الى مط اصراة (O-H) (O-H) الاميدية وايضا ظهر حزم امتصاص عند مدى ترددات cm^{-1} (1635-1684) (3024-31720) cm⁻¹, (1702-1720) cm⁻¹, (1345-1400) cm⁻¹ 3074) cm⁻¹ (1396-1465) cm⁻¹ و (621-690) cm⁻¹ تعود الى مط اصراه (C=O) ، (C-H) الاروماتية ، (C=O) الكاربوكسيلية، (C-OH) الاميدية، (C-NO₂) المتناظر وغير المتناظرة ومط اصراة (C-S) على التوالى.اما طيف امتصاص الاشعة فوق بنسجية اعطي حزم لا عظم امتصاص عند مدى الاطوال الموجية (369-392) nm (266-297) تعود الى انتقالات ($n \rightarrow \pi^*$) و($\pi \rightarrow \pi^*$) والجدول رقم (6) يوضح حزم الامتصاص لطيف الاشعة تحت الحمراء والاشعة فوق بنسجية ، كما اظهر طيف الرنين النووي المغناطيسي ¹H-NMR للمركبات (7-12) المذابة في d₆-DMSO اشاره مفردة عند 5.1-5.5 ppm تعود الى بروتون NH الاميدية و اشاره متعددة عند (6.9-8.3) ppm تعود الى بروتونات الحلقة الاروماتية و اشاره مفردة عند 11.3-11.7 ppm تعود الى بروتون (OH) الكاربوكسيلية . كما شخصت المركبات (13-18) من خلال بعض القياسات الفيزيولوجية والنتائج الطيفية ، حيث ابتد اطيف الاشعة تحت



مخطط (1)

جدول (5) يوضح بعض الخواص الطيفية (FTIR-UV) للمركيبات (1-6)

FTIR Absorption Data (cm^{-1})										u.v λ_{max} nm
No.	structure	$\nu(\text{N-H})$ amine	$\nu(\text{C=N})$	$\nu(\text{C=C})$	$\nu(\text{C-S})$	$\nu(\text{C-H})$ Aroma-tic	$\nu(\text{C-N})$	Other Bands		
1		3394 3271	1643	1527 1446	686	3055	1107	—	277	
2		3414 3282	1616	1556 1454	648	3032 3074	1114	$\nu(\text{C-Br})$ 543	279	
3		3417 3375	1608	1500 1400	702	3089 3035	1130	$\nu(\text{C-NO}_2)$ 1303-1323 $\nu(\text{C-Cl})$ 744	376-268	
4		3421 3321	1620	1593 1473	628	3066	1134	$\nu(\text{C-O-C})$ 1234 $\nu(\text{C-H})\text{alph.}$ 2904-2939	275	
5		3217 3150	1631	1566 1462	659	3059	1134	$\nu(\text{C-Cl})$ 767	280	
6		3479 3356	1624	1558 1500	659	3030	1168	$\nu(\text{C-NO}_2)$ 1400- 1346	273	

جدول (6) يوضح بعض الخواص الطيفية (FTIR-UV) للمركيبات (7-12)

No.	structure	FTIR Absorption Data (cm^{-1})										u.v λ_{max} nm
		$\nu(\text{O-H})$ carboxylic	$\nu(\text{N-H})$ amide	$\nu(\text{C=O})$ carboxyl	$\nu(\text{C=O})$ amide	$\nu(\text{C=C})$	$\nu(\text{C=N})$	$\nu(\text{C-N})$	$\nu(\text{C-S})$	$\nu(\text{C-H})$ Aromati-c	$\nu(\text{C-NO}_2)$	
7		3178	3313	1716	1681	1527 1465	1635	1130	636	3074	1438 1392	—
8		3190	3228	1720	1680	1535 1500	1631	1130	621	3070	1400 1361	$\nu(\text{C-Cl})$ 752
9		3185	3240	1716	1658	1562 1462	1631	1168	624	3032	1396 1350	$\nu(\text{C-Br})$ 567
10		3192	3250	1716	1635	1543 1465	1604	1114	690	3024	1400 1356	$\nu(\text{C-O-C})$ 1238 $\nu(\text{C-H})\text{alph.}$ 2934
11		3200	3300	1705	1684	1585 1566	1631	1134	659	3032	1465 1400	$\nu(\text{C-Cl})$ 771
12		3186	3232	1702	1643	1531 1465	1585	1130	632	3035	1396 1345	—

جدول (7) يوضح بعض الخواص الطيفية (FTIR-UV) للمركيبات (13-18)

No.	Structure	FTIR Absorption Data (cm^{-1})								u.v λ_{\max} nm
		v(C=O)	v(C-H) Aromatic	v(C=N)	v(C-N)	v(C=C)	v(C-S)	v(C- NO_2)	Other Bands	
13		1743 1697	3087 3059	1651	1141	1543 1504	671	-1419 1342	—	273
14		1782 1735	3082 3032	1612	1153	1570 1539	698	-1400 1354	—	272
15		1735 1693	3092 3062	1651	1184	1589 1546	644	-1427 1373	v(C-Br) 516	278
16		1774 1701	3070 3055	1639	1180	1597 1550	682	-1442 1419	v(C-Cl) 767	275
17		1782 1701	3076 3052	1608	1114	1543 1469	667	-1369 1311	v(C-O-C) 1276-1215 v(C-H)alph. 2939-2850	272
18		1789 1735	3093 3047	1681	1153	1570 1539	686	-1377 1354	v(C-Cl) 748	268

جدول (8) يوضح بعض الخواص الطيفية (FTIR-UV) للمركيبات (19-24)

No.	structure	FTIR Absorption Data (cm^{-1})								u.v λ_{\max} nm
		v(C=O)	v(C-H) Aromatic	v(C=N)	v(C-N)	v(C=C)	v(C-S)	v(C-Br)	Other Bands	
19		1770 1705	3055 3032	1604	1172	1543 1493	686	501	—	269-323
20		1770 1730	3077 3059	1631	1172	1562 1539	659	559	v(C-Cl) 767	-335-273 328
21		1778 1712	3070 3028	1635	1165	1562 1539	644	570	—	327
22		1778 1716	3097 3030	1624	1165	1500 1458	624	586	v(C-Cl) 744 v(C- NO_2) -1330 1377	-282-299 343
23		1770 1716	3028	1656	1168	1562 1530	667	505	v(C-O-C) 1235 v(C-H)alph. -2839 2958	281
24		1774 1716	3032 3020	1627	1168	1558 1504	648	570	v(C- NO_2) -1400 1458	273

مقارنة القيم المستحصلة علمياً مع القيم المحسوبة نظرياً
ما يؤكد بشكل كبير صحة النسب المضافة وصحة
القياسات الطيفية.

كما بينت نتائج التحليل الدقيق للعناصر
الموضحة في جدول رقم (9) صحة الصيغة للمركيبات
الكيميائية المحضرة حيث لوحظ تقارب كبيراً عند

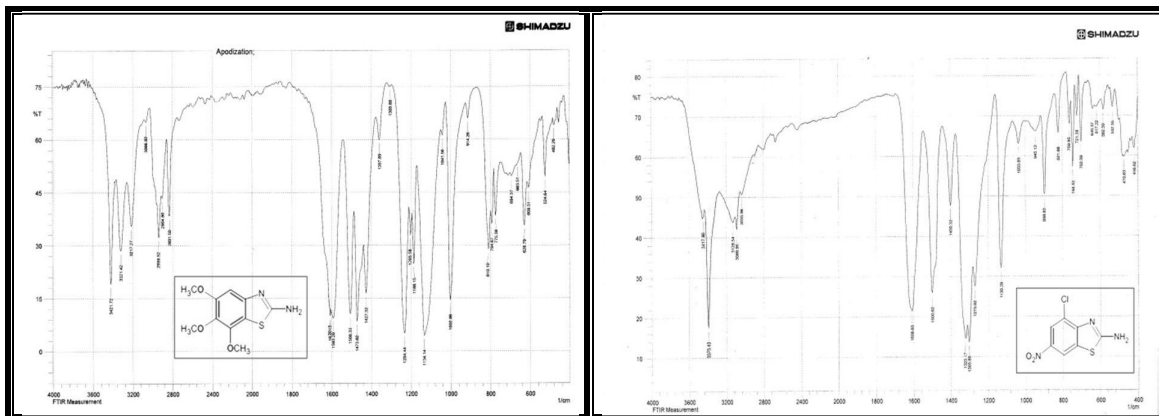
جدول (9) نتائج التحليل الدقيق للعناصر C.H.N.S للمركبات المحضررة

Comp NO.	(C.H.N.S) analysis Calculated (Found)				Comp NO.	(C.H.N.S) analysis Calculated (Found)			
	C%	H%	N%	S%		C%	H%	N%	S%
1	55.90 (55.302)	4.02 (3.798)	18.63 (18.738)	21.32 (21.220)	13	55.378 (55.784)	2.192 (2.541)	12.92 (12.274)	9.858 (10.183)
2	36.95 (36.132)	2.199 (2.311)	12.23 (11.996)	13.99 (14.195)	14	48.648 (49.210)	1.633 (1.346)	15.133 (15.781)	8.660 (8.313)
3	36.60 (36.052)	1.755 (2.324)	18.30 (18.941)	13.96 (13.514)	15	44.569 (44.174)	1.496 (1.867)	10.398 (10.563)	7.934 (8.324)
4	49.98 (49.357)	5.03 (5.721)	11.656 (12.151)	13.34 (13.732)	16	50.076 (49.864)	1.681 (1.381)	11.683 (11.245)	8.914 (9.134)
5	45.54 (45.932)	2.73 (2.275)	17.368 (17.216)	15.17 (15.853)	17	52.043 (52.723)	3.156 (3.843)	10.161 (10.532)	7.720 (8.103)
6	43.066 (43.634)	2.58 (2.143)	16.42 (16.732)	21.53 (20.998)	18	44.508 (44.319)	1.245 (1.732)	13.845 (14.214)	7.9234 (8.340)
7	52.47 (51.897)	2.64 (2.932)	12.24 (12.671)	9.345 (9.232)	19	42.37 (41.832)	1.63 (1.945)	9.063 (8.739)	10.37 (10.994)
8	42.61 (43.031)	1.669 (1.334)	13.255 (13.945)	7.58 (7.171)	20	38.45 (37.797)	1.173 (1.843)	8.155 (8.567)	9.333 (9.944)
9	42.66 (42.197)	1.909 (2.320)	9.95 (10.447)	7.59 (8.102)	21	34.04 (34.321)	1.039 (1.503)	7.221 (6.649)	8.264 (8.021)
10	49.88 (50.112)	3.488 (3.780)	9.69 (9.197)	7.39 (7.901)	22	33.997 (33.137)	0.778 (1.123)	10.253 (10.465)	8.253 (8.884)
11	47.68 (47.921)	2.134 (2.331)	11.12 (10.889)	8.489 (8.860)	23	42.117 (41.632)	2.777 (2.231)	7.0137 (7.832)	8.033 (7.399)
12	46.39 (46.731)	2.076 (2.368)	14.43 (14.145)	8.258 (7.895)	24	37.304 (37.784)	1.138 (1.456)	11.861 (10.978)	9.055 (8.439)

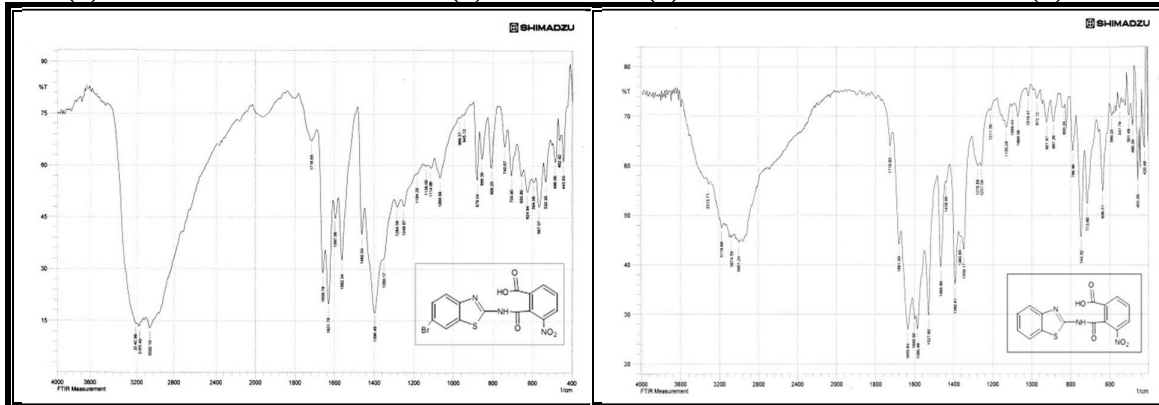
جدول رقم (10) يوضح مناطق التثبيط الناتجة من تأثير المركبات بـ (mm)

Comp NO.	Gram-positive bacteria		Gram-negative bacteria		Fungi
	Staphylococcus aureus	Streptococcus pyogenes	E. coli	Pseudomonas aeruginosa	Candida albicans
1	22	23	20	18	N
2	23	23	15	16	N
3	15	17	14	20	N
4	12	14	N	N	N
5	15	25	N	17	25
6	21	20	10	22	N
7	14	20	21	16	11
8	13	16	N	N	N
9	8	15	10	13	8
10	N	19	11	15	N
11	9	N	12	N	N
12	11	N	N	9	N
13	14	13	N	13	12
14	15	12	N	N	N
15	12	9	N	N	N
16	10	11	8	11	N
17	N	N	N	8	N
18	11	14	16	12	8
19	16	20	18	18	14
20	13	19	15	16	N
21	15	17	N	20	N
22	20	11	11	15	N
23	N	N	N	N	N
24	11	12	N	N	N

N = Negative = Inactive (inhibition zone < 6 mm)

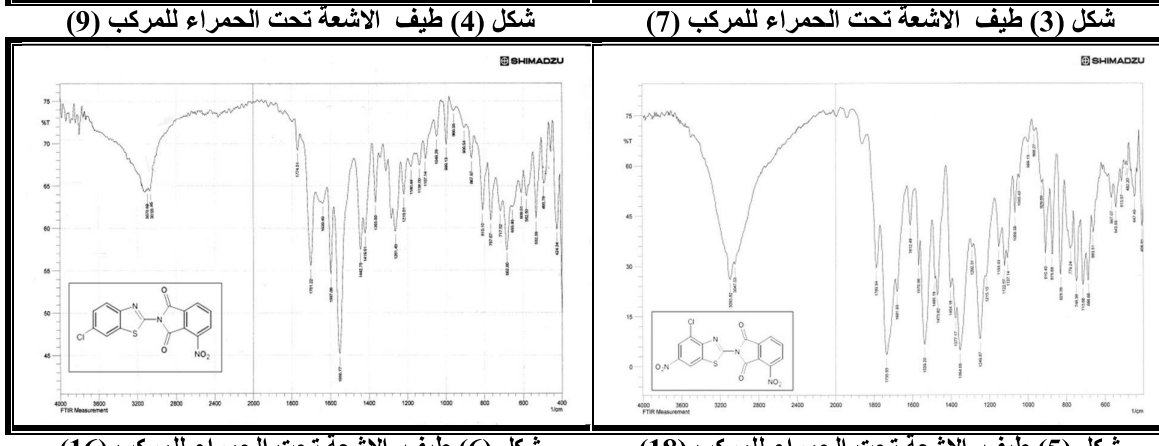


شكل (1) طيف الاشعة تحت الحمراء للمركب (3)



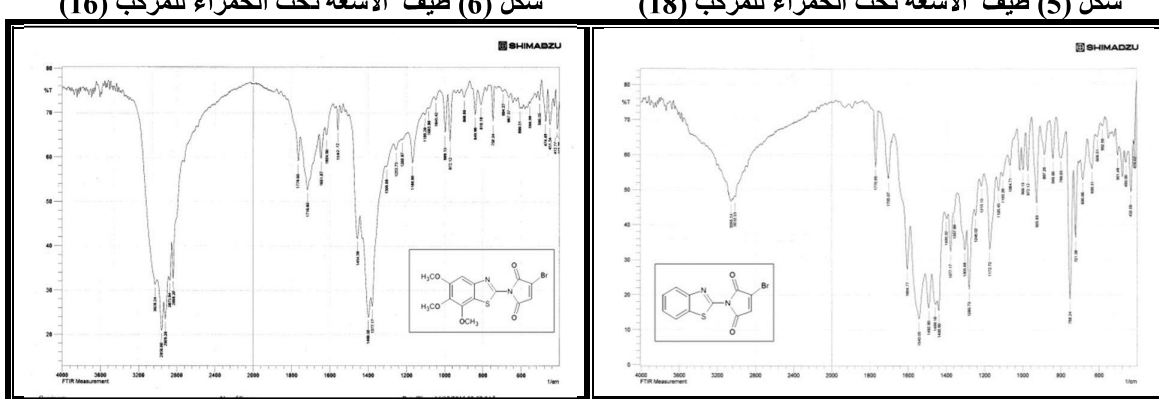
شكل (2) طيف الاشعة تحت الحمراء للمركب (4)

شكل (3) طيف الاشعة تحت الحمراء للمركب (7)



شكل (4) طيف الاشعة تحت الحمراء للمركب (9)

شكل (5) طيف الاشعة تحت الحمراء للمركب (7)



شكل (6) طيف الاشعة تحت الحمراء للمركب (16)

شكل (5) طيف الاشعة تحت الحمراء للمركب (18)

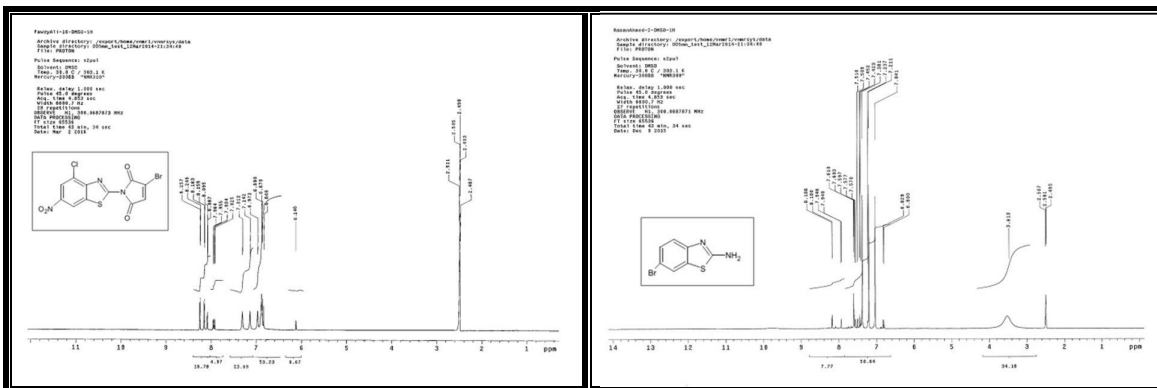


شكل (7) طيف الاشعة تحت الحمراء للمركب (18)



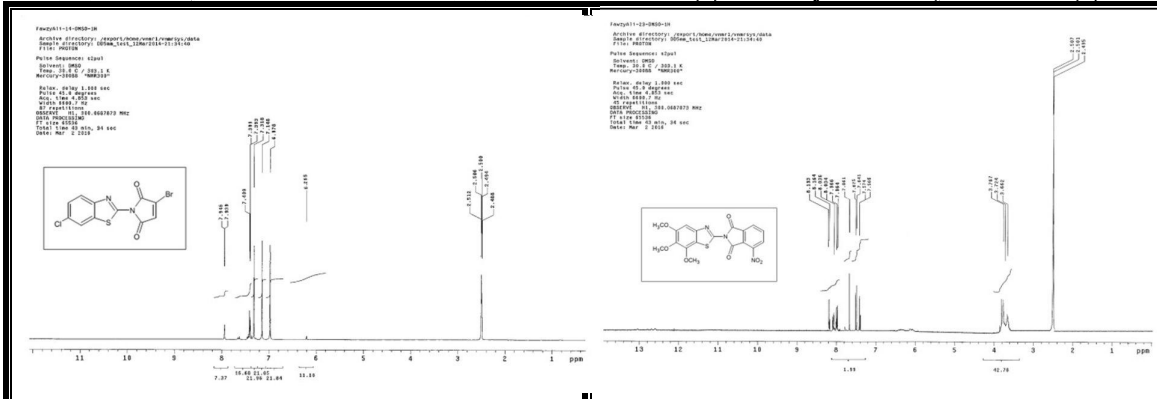
شكل (8) طيف الاشعة تحت الحمراء للمركب (23)

شكل (9) طيف الاشعة تحت الحمراء للمركب (19)



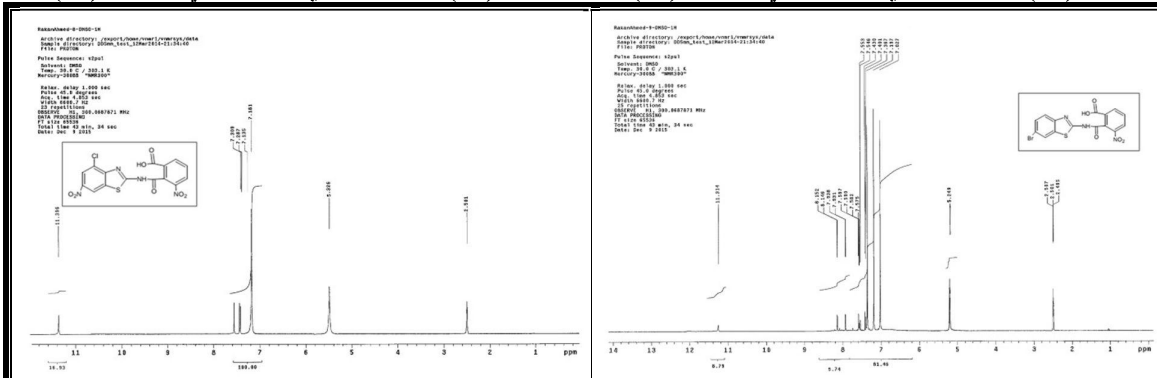
شكل (10) الرنين النووي المغناطيسي للمركب (22)

شكل (9) الرنين النووي المغناطيسي للمركب (2)



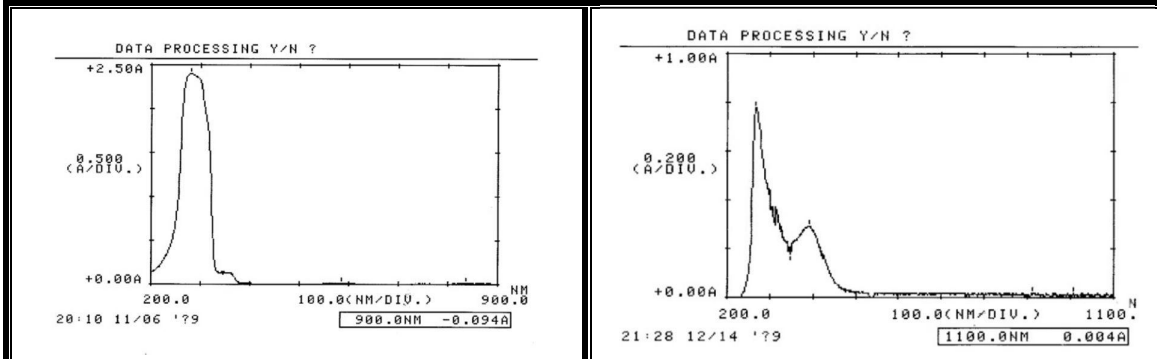
شكل (12) الرنين النووي المغناطيسي للمركب (20)

شكل (11) الرنين النووي المغناطيسي للمركب (17)



شكل (13) الرنين النووي المغناطيسي للمركب (9)

شكل (14) الرنين النووي المغناطيسي للمركب (8)



شكل (16) طيف الاشعة فوق البنفسجية للمركب (5)

شكل (15) طيف الاشعة فوق البنفسجية للمركب (12)

Reference

- 1-** Papenfus, T .1987.preparation of Benzothiazoles as intermediates for- dyes , plant protectants and pharmaceuticals .Ger.offen . DE3 528.
- 2-** Yadav, P. S and Senthilkumar, D. G. 2011. Benzothiazole: Different methods of synthesis and diverse biological activities. IJPDSR ., 3(1), 1-7.
- 3-** Chan, A. and Uttar, p. 2014. Significance OF Benzothiazole moiety in the field of cancer . Int J Pharm ,Pharm Sci., Vol. 6(2), 16-22.
- 4-** Khokra, S.; Arora, K.; Mehta, H.; Aggarwal, A.and Yadav, M.2011. Common methods to synthesize Benzothiazole derivatives and their medicinal significance: A review. Int. J. Pharm. Res ; Vol 2(6), 1356-1377.
- 5-** Patel, R.V; Patel, P.K.; Kumari, P. D.; Rajani, P. and Chikhalia ,K.H.2012.Synthesis of benzimidazolyl-1,3,4-oxadiazol-2-yl thio -N-Phenyl ((benzothiazolyl) acetamides as antibacterial ,antifungal and antituberculosis agent. J. Med. Chem.,(53)41-51.
- 6-** Catalano,A; Carocci, A.; Defrenza,I.; Muraglia,M. Carrieri,A.; Bambeke,F.; Rosato,A.; Corbo,F .and Franchini,C.2013.2-aminobenzothizol derivatives: Search for new antifungal agents. Eur. J. of Med. Chem., (64) 357-364.
- 7-** Pattan, S.; Suresh, C.; Pujar, V.; Reddy, V.; Rasal ,V. and Koti, B. 2005. Synthesis and anti-diabetic activity of 2-amino[5'(4-ulphonylbenzylidene)-2,4-thiazolidinenone]-7-chloro-6-fluorobenzothiazole. Ind. J. Chem., 44B: 2404-2408.
- 8-** Al-Ghazy , A. J. 2006.Synthesis of 2 - Mercapobenzothiazole and Some It's Derivative and study its effect on some Strains of Bacteria. MSc. Thesis, College of Sci., Dep. of Chem University of Baghdad,pp.1-84 .
- 9-** Gupta, A. and Rawat,S.2010. Synthesis and Cyclization of Benzothiazole: Review. J. of Current Pharmaceutical Research ., 3(1): 13-23.
- 10-** Nagakumar, B., Kavith, B. and Kewn, W.L.2006. Quantitative Structure-Activity Relationships and molecular Docking studies of P56 LCK inhibitors .Bull. Korean Chem. Soc., (27), 266.
- 11-** Alzubaidy,S.N.; . Yasin,M..A. lateef,O.A and F. Thamer,H.F.2014. Synthesis, Characterization and study biologicalactivity of several 1-cyclopentene-1,2-dicarboxylimidyl Containing oxadiazole and Benzothiazole. J. Baghdad for Sci.,Vol.11(2)429-437.
- 12-** Al-Azzawi, A.M. and Hassan .A.S.2011. Synthesis and preliminary evaluation of antimicrobial activity of new sulfonamido and acetamido cyclic imides linked to benzothiazole moiety. K . J . Pharm . Sc.,(2)59-80.
- 13-** Mahapatra, S. P. Ghode, P., Jain, D.k, and Chaturredi, S.C., 2010, Synthesis and hypoglycemic activity of some

phthalimide derivatives, J. Pharm. Sci. Res., 2, pp:567-578.

14- Al-Gburi,H.F.2013.Synthesis

Polymerization and Characterization of New 2-Aminobenzothiazole Imides Derivatives.phd Thesis, University of Baghdad,Iraq, pp ,1-226.

15- Al-Azzawi, A.M. and Mahdi. S.A 2010 .Synthesis, characterization and biologicalactivity study of Nsubstituted sulfonamide maleimides substituted with different heterocycles. Baghdad Sci.j.,7(1).

16- Al-Azzawi, A.M. Mahdi. S.A.2013. Synthesis and Evaluation of

Antimicrobial activity of several new Maleimides to Benzothiazole moiety . Baghdad Sci.j., 10(3).

17- EL Ashry,E.S.H.;Kassem,A.A;Abdel-Hamid,A.;Louis,F.F.;Khattab,Sh.A.N.and Aouad,M.R.2006.Synthesis of 4-amino-5-(3-chlorobenzo[b]thien-2-yl)-3-mercaptop-1,2,4-triazolo[3,4-b][1,3,4]thiadiazoles and-triazolo[3,4-b][1,3,4]thiadiazines under classical and microwave conditions.ARKIVOC., (14)119-132.

18- Bellamy, L. J.1962. Organic Sulfur Compounds st ¹ -ed. V: 1, England. pp:53.

Synthesis, Characterization and Biological Activity of some new phthalimides and maleimides derivetives containing benzothiazole ring

Received :15/5/2016

Accepted : 4/7/2016

Muhanned A. Mahmoud*

Atyaf Qusay Kadhim*

Ahmed Younus Abed*

*Department of Chemistry ,College of Science for Women ,University of Baghdad

Abstract

In this work, a series of new 3-nitro phthalimides and bromo maleimides derivetives containing benzothiazole ring were synthesized, the Synthesis of series of N-(substituted benzothiazole-2-yl) 3-nitro phthalimide were performed via three steps, the first one involved preparation of a series of substituted 2-aminobenzothiazole via reaction of different primary aromatic amines with ammonium thiocyanate and bromine in glacial acetic acid, In the second step the prepared amino benzothiozoles were introduced in reaction with 3- nitro phthalic anhydride producing a series of N-(substituted benzothiazole-2-yl) 3- nitro phthalamic acid, while Fusion Method used in preparation of a series N-(substituted benzothiazol-2-yl) bromo maleimide via Fusion The prepared substituted 2-aminobenzothiazole with Bromo Maleic anhydride to producing a series of N-(substituted benzothiazol-2-yl) bromo maleimide ,the synthesized compounds were identified depending upon physical and spectral method, Microbiological activities of the prepared compounds against four types of bacteria and one type of fungi were evaluated and the results showed that the most tested compounds have good antibacterial and anti fungi activity .

Keywords: phthalimides , maleimides , benzothiazole

Chemical Classification QD 241-441